

การแสดงออกของ METTL3 ในรอยโรคอะมีโลบลาสโตรมา

สุกสรร ยังราษฎร์* ชัชพันธุ์ อุดมพัฒนากร* กักราย แต่บรรพกุล*

บทคัดย่อ

วัตถุประสงค์: เพื่อศึกษาการแสดงออกของ METTL3 ในรอยโรคอะมีโลบลาสโตรมาชนิดถุงน้ำเดียว และอะมีโลบลาสโตรมาชนิดหล่ายถุงน้ำ

วัสดุอุปกรณ์และวิธีการ: ศึกษาด้วยวิธีอิมูโนฮิโลติเคมีในชีวนิ่ออะมีโลบลาสโตรมาชนิดถุงน้ำเดียวจำนวน 11 ตัวอย่าง และอะมีโลบลาสโตรมาชนิดหล่ายถุงน้ำจำนวน 15 ตัวอย่าง โดยศึกษารูปแบบการติดสี ร้อยละของเซลล์ที่ย้อมติดสี และคะแนนอิมูโนเรียค็อกพิฟ วิเคราะห์ข้อมูลด้วยสถิติที่ระดับความเชื่อมั่น $p < 0.05$

ผลการศึกษา: พบรการแสดงออกของ METTL3 ในทุกตัวอย่างของรอยโรคอะมีโลบลาสโตรมาทั้งสองชนิด โดยกลุ่มรอยโรคอะมีโลบลาสโตรมาชนิดหล่ายถุงน้ำเดียวพบการติดสีในระดับความเข้มระดับปานกลาง ในขณะที่กลุ่มรอยโรคอะมีโลบลาสโตรมาชนิดหล่ายถุงน้ำพบการติดสีในระดับความเข้มรุนแรง ซึ่งพบว่าร้อยละค่าเฉลี่ยของเซลล์ที่มีการติดสี คะแนนร้อยละของเซลล์ที่ย้อมติดสี และคะแนนความเข้มของการติดสีในกลุ่มอะมีโลบลาสโตรมาชนิดหล่ายถุงน้ำสูงกว่าอะมีโลบลาสโตรมาชนิดถุงน้ำเดียวอย่างมีนัยสำคัญทางสถิติ ($p < 0.01$)

สรุป: การแสดงออกของ METTL3 ในอะมีโลบลาสโตรมาชนิดหล่ายถุงน้ำสูงกว่าอะมีโลบลาสโตรมาชนิดถุงน้ำเดียว ซึ่งผลการศึกษาแสดงให้เห็นว่า METTL3 อาจมีประโยชน์ในการเป็นตัวบ่งชี้ทางชีวภาพต่อพฤติกรรมและความรุนแรงของโรคอะมีโลบลาสโตรมาได้

คำสำคัญ : อะมีโลบลาสโตรมา, METTL3, กระบวนการตัดเปล่ง m6A, เนื้องอกที่เกี่ยวข้องกับเนื้อเยื่อสร้างฟัน

วันที่รับ: 20 พฤษภาคม 2567

วันที่แก้ไข: 17 กรกฎาคม 2567

วันที่ตอบรับ: 16 กันยายน 2567

*ภาควิชาคลินิกศาสตร์และเวชศาสตร์ช่องปาก คณะทันตแพทยศาสตร์ มหาวิทยาลัยคริสตินทร์วิโรฒ เลขที่ 114 สุขุมวิท 23 แขวงคลองเตยเหนือ เขตวัฒนา กรุงเทพมหานคร 10110

Expression of METTL3 in Ameloblastoma

Supisara Patcharaman* Chatchaphan Udompatanakorn* Patrayu Taebunpakul*

Abstract

Objective: To study the expression of METTL3 in unicystic ameloblastoma and conventional ameloblastoma.

Materials and Methods: The expression of METTL3 was assessed by immunohistochemistry. Eleven specimens of unicystic ameloblastoma and fifteen specimens of conventional ameloblastoma were used in the study. The expression pattern, the percentage of stained cells and immunoreactive scores were evaluated. The data were analyzed, and statistical significance was defined as a P value of 0.05.

Results: The results revealed METTL3 expression in all samples of ameloblastomas. In the unicystic ameloblastoma, moderate cell staining intensity was observed mainly in the nucleus of epithelial cells. The intensity of staining cells was increased in conventional ameloblastoma and mainly detected in the nucleus of almost every cell of epithelium. The mean percentage of stained cell, the score of the percentage of stained cell and the staining intensity scores in conventional ameloblastoma was higher than unicystic ameloblastoma, respectively ($p < 0.01$).

Conclusions: It was found that the expression of METTL3 was higher in conventional ameloblastoma than in unicystic ameloblastoma. The results suggest that METTL3 may be useful as a biomarker to predict the behavior of ameloblastoma.

Keywords: Ameloblastoma, METTL3, m6A modification, Odontogenic tumor

Received Date: May 20, 2024

Revised Date: Jul 17, 2024

Accepted Date: Sep 16, 2024

*Department of Oral Surgery and Oral Medicine, Faculty of Dentistry, Srinakharinwirot University 114 Sukhumvit 23 road, Bangkok 10110, Thailand.

บทนำ (Introduction)

อะเมโลบลาสโตรมาเป็นเนื้องอกชนิดไม่ร้ายแรง (benign tumor) ของกระดูกขากรรไกรที่พบมากสุด (1) มีเซลล์ต้นกำเนิดจากเนื้อเยื่อสร้างฟัน (enamel organ) (2) การจำแนกประเภทของเนื้องอกที่ศีรษะและคอของ WHO ฉบับที่ 5 เพย์แพรในปี ค.ศ. 2022 มีการแบ่งประเภทของเนื้องอกชนิดไม่ร้ายแรงที่เกิดจากเนื้อเยื่อสร้างฟัน ที่ปรากฏลักษณะของเซลล์ที่มีรูปร่างคล้ายอะเมโลบลาสโตรมา (ameloblastic-like cells) เป็น 5 ชนิด ได้แก่ อะเมโลบลาสโตรมาชนิดหลาภูถุงน้ำ (conventional/multicystic ameloblastoma) อะเมโลบลาสโตรมาชนิดถุงน้ำเดียว (unicystic ameloblastoma) อะเมโลบลาสโตรมาชนิดนอกขากรรไกร (peripheral/extramosseous ameloblastoma) อะเมโลบลาสโตรมาชนิดแพร่กระจาย (metastasizing ameloblastoma) และอะดีนอยด์อะเมโลบลาสโตรมา (adenoid ameloblastoma) (3) โดยรอยโรคล่วนใหญ่มักพบเป็นอะเมโลบลาสโตรมาชนิดหลาภูถุงน้ำ โดยพบมากถึงร้อยละ 86 (4) ถึงแม้ว่ารอยโรคนี้จะมีการขยายขนาดที่ช้าแต่กลับมีการรุกรุนแรงมาก แล้วแต่ความรุนแรงและความสามารถในการทำลายกระดูกที่บ้า (cortex bone) โดยลักษณะทางภาพรังสีพบเป็นเงาเดาหลายยาง นอกจากนั้นยังมีอัตราการกลับเป็นซ้ำสูง หากได้รับการรักษาที่ไม่เหมาะสม (4,5) ชนิดที่พบรองลงมาคืออะเมโลบลาสโตรมาชนิดถุงน้ำเดียวซึ่งมีพฤติกรรมการดำเนินโรคคล้ายรอยโรคถุงน้ำเดินติเจอรัส ลักษณะทางภาพรังสีพบเป็นลักษณะเดาแรงเดียว และเป็นรอยโรคที่มีความรุนแรงและอัตราการกลับเป็นซ้ำที่ต่ำกว่าอะเมโลบลาสโตรมาชนิดหลาภูถุงน้ำ (3,6)

สาเหตุของการเกิดโรคอะเมโลบลาสโตรมาอย่างไม่ทราบแน่ชัดทั้งหมด การศึกษาที่ผ่านมาพบว่าการเกิดโรคอะเมโลบลาสโตรมาเกี่ยวข้องกับการเปลี่ยนแปลงทางพันธุกรรม (genetic alteration) โดยค้นพบการกลายพันธุ์ที่สูงของยีน *BRAF-V600E* ซึ่งบ่งชี้ถึงความผิดปกติในระดับโมเลกุลของอะเมโลบลาสโตรมา (7) นอกจากการกลายพันธุ์ในระดับพันธุกรรมแล้ว ยังพบว่าในอะเมโลบลาสโตรมามีการกลายพันธุ์ในกระบวนการหนีอพันธุกรรม (epigenetic mutation) อีกด้วย (8,9) กระบวนการหนีอพันธุกรรมในระดับดีเอ็นเอที่อาจ

เกี่ยวข้องกับสาเหตุการเกิดโรคอะเมโลบลาสโตรมามากที่สุดได้แก่ กระบวนการเมทิลเลชันของดีเอ็นเอ (DNA methylation) โดยความผิดปกติของกระบวนการเมทิลเลชันของดีเอ็นเอนำไปสู่ความผิดปกติของวัฏจักรของเซลล์ และส่งผลต่อพฤติกรรมทางชีวภาพของอะเมโลบลาสโตรมา (9)

สำหรับกระบวนการหนีอพันธุกรรมในระดับดีเอ็นเอ เกิดจากการบันการตัดแปลงดีเอ็นเอ (RNA modification) โดย N6-methyladenosine (m6A) เป็นกระบวนการเมทิลเลชันที่พบได้มากที่สุดในเอ็มอาร์เอ็นเอ (mRNA) (10, 11) m6A ถูกควบคุมโดยกลุ่มเอนไซม์ 3 กลุ่ม ได้แก่ m6A writers หรือ m6A methyltransferases, m6A erasers หรือ demethylases และ m6A readers (12) โดย Methyltransferase-like 3 (METTL3) เป็นโปรตีนเอนไซม์ตัวหลักในกลุ่ม RNA methyltransferase (10) ปัจจุบันมีการศึกษาสนับสนุนว่ามีการแสดงออกที่ผิดปกติของ METTL3 ในมะเร็งของมนุษย์ และความผิดปกติในการทำงานของ METTL3 นั้นยังเกี่ยวข้องกับการก่อมะเร็งด้วย (10,12-14) อีกทั้งยังมีการศึกษาพบว่ามีการแสดงออกของ METTL3 ที่มากกว่าปกติในมะเร็งช่องปากชนิดสquamous carcinoma (OSCC) เมื่อเปรียบเทียบกับเยื่อบุผิวช่องปากปกติ (12) รวมถึงเมื่อเปรียบเทียบการแสดงออกของ METTL3 ในระยะการแพร่กระจายของต่อมน้ำเหลือง (lymph node metastasis) พบว่ากลุ่มตัวอย่างที่มีการแพร่กระจายพบการแสดงออกของ METTL3 ที่สูงกว่า (11) จึงอาจสรุปได้ว่า METTL3 มีบทบาทต่อพฤติกรรมและความรุนแรงของโรค นอกจากนี้การศึกษาของ Niin และคณะในปี ค.ศ. 2020 เป็นการศึกษาแรกที่ได้ศึกษาความสัมพันธ์ของ m6A กับอะเมโลบลาสโตรมาพบว่ามีการเพิ่มขึ้นของการเติมหมู่เมทิลในเอ็มอาร์เอ็นเอของยีน *HOXC₁₃* และมีการเติมหมู่เมทิลใน lncRNA (Long non-coding RNA) ของยีน *HOXC₁₃-AS* และ circRNA (Circular RNA) ได้แก่ hsa_circ_0086414 ในอะเมโลบลาสโตรมาแตกต่างกับเนื้อเยื่อช่องปากปกติซึ่งยืนยันและ circRNA ดังกล่าวมีความสัมพันธ์กับกระบวนการเพิ่มจำนวนของเซลล์และกระบวนการอะพ็อพ็อทิซิส

(apoptosis) และมีความสัมพันธ์กับมะเร็งช่องปาก ชนิดส่วนตัวเชลล์คาวารีโนมา ซึ่งข้อมูลจากการศึกษา นี้อาจเป็นข้อปังชี้ว่าการเพิ่มขั้นของการเติมหมูเมทิลนั้น อาจมีความสัมพันธ์กับการเกิดโรคอะมีโลบลาสโตรมาได้ เช่นกัน (8)

จากการบททวนวรรณกรรมที่ผ่านมาจึงทำให้ เชื่อได้ว่าพยาธิกำเนิดของรอยโรคอะมีโลบลาสโตรมา อาจมีความเกี่ยวข้องกับการกลایพันธุ์ในกระบวนการ เห็นอพันธุกรรมในระดับอาร์เอ็นเอ อย่างไรก็ตาม การ ศึกษาการกลัยพันธุ์ในกระบวนการเห็นอพันธุกรรมใน ระดับอาร์เอ็นเอในอะมีโลบลาสโตรมา yang มีจำนวนน้อย อีกทั้งยังไม่พบการศึกษาการแสดงออกของ METTL3 ในอะมีโลบลาสโตรมามาก่อน ดังนั้นการศึกษานี้จึงมี วัตถุประสงค์เพื่อศึกษาการแสดงออกของ METTL3 ใน รอยโรคอะมีโลบลาสโตรมาด้วยวิธีทางอิมมูโนฮิล็อติเคมี โดยเปรียบเทียบการแสดงออกของ METTL3 ใน อะมีโลบลาสโตรมาชนิดถุงน้ำเดียวและอะมีโลบลาสโตรมา ชนิดหล่ายถุงน้ำ เพื่อเพิ่มความเข้าใจถึงบทบาทและ ความสามารถของ METTL3 ในการเป็นตัวปั่นชี้ทาง ชีวภาพที่เกี่ยวข้องกับพฤติกรรมและความรุนแรงของ รอยโรคอะมีโลบลาสโตรมา

วัสดุอุปกรณ์และวิธีการ (Materials and Methods)

ชิ้นเนื้อที่ใช้ในการศึกษา

ชิ้นเนื้อที่ใช้ในการศึกษาเป็นชิ้นเนื้อที่ได้จากการ ตัดชิ้นเนื้อเพียงบางส่วน (incisional biopsy) ของรอย โรคและเป็นชิ้นเนื้อในกล้องพาราฟิน ที่เก็บอยู่ในคลัง ของแผนกพยาธิวิทยาช่องปาก คณะทันตแพทยศาสตร์ มหาวิทยาลัยครินทริวโรต์ ระหว่างปี พ.ศ. 2555 - 2565 ได้แก่ ชิ้นเนื้ออะมีโลบลาสโตรมาชนิดถุงน้ำเดียว ที่มีลักษณะทางพยาธิวิทยาเป็นชนิดลูมินัล (luminal) และอินทราลูมินัล (intraluminal) เท่านั้น จำนวน 11 ตัวอย่าง และชิ้นเนื้ออะมีโลบลาสโตรมาชนิดหล่ายถุงน้ำ จำนวน 15 ตัวอย่าง โดยเกณฑ์การคัดเข้าคือชิ้นเนื้อ ที่ได้รับการวินิจฉัยว่าเป็นโรคดังกล่าวตามเกณฑ์ของ WHO ปี ค.ศ. 2022 (3) ส่วนเกณฑ์การคัดออกคือ ชิ้นเนื้อที่ไม่สมบูรณ์ ได้แก่ชิ้นเนื้อที่ไม่สามารถมองเห็น ชิ้นเยื่อบุผิว หรือชิ้นเนื้อที่มีขนาดเล็กเกินไป โดยการ

ศึกษานี้ได้รับการรับรองจริยธรรมการวิจัยจากคณะกรรมการจริยธรรมสำหรับพิจารณาโครงการวิจัยที่ทำในมนุษย์ มหาวิทยาลัยครินทริวโรต์ หมายเหตุรับรอง SWUEC-097/2566X

การย้อมด้วยวิธีอิมมูโนฮิล็อติเคมี

ตัดชิ้นเนื้อที่อยู่ในกล้องพาราฟินให้มีความหนา 4 มีโครเมตร วางลงบนสไลด์ นำไปอบที่อุณหภูมิ 60 องศาเซลเซียส และนำไปผ่านกระบวนการละลาย พาราฟินและการเติมน้ำ (rehydration) ทำการย้อมโดย ใช้ชุดย้อม Envision (DAKO Omnis, Denmark) ตาม ที่บริษัทผู้ผลิตแนะนำ เริ่มจากการคืนสภาพแอนติเจน นำสไลด์ไปแช่ใน Tris/EDTA pH 9 และให้ความร้อน ด้วยไมโครเวฟ 700 วัตต์ นาน 10 นาที จากนั้นหยด Peroxidase blocking reagent ลงบนชิ้นเนื้อ และล้าง ด้วย wash buffer หยด protein blocking reagent ให้ท่วงชิ้นเนื้อ ทิ้งไว้ 10 นาที และหยด antibody against METTL3 (ab195352; Abcam, United Kingdom) ที่ความเข้มข้น 1:250 บ่มไว้ที่อุณหภูมิ 4 องศาเซลเซียส ทิ้งไว้สามคืน และนำสไลด์ไปแช่ใน wash buffer จากนั้น หยด secondary antibody บ่มไว้เป็นเวลา 30 นาที ล้างสไลด์ด้วย wash buffer ทำให้เกิดสีโดยใช้ 3, 3'-Diaminobenzidine (DAB) ทิ้งไว้ 5 นาที และย้อม สไลด์ด้วยสีมาโทอกซิลิน จากนั้นทำการไล่เม็ดออกแล้วหยด Bio Mount HM (BioOptica, Italy) และปิดด้วยกระ Jackson ปิดสไลด์ การศึกษานี้ใช้ rat testis เป็นตัวควบคุมเชิงบวก และทำการย้อมชิ้นเนื้อด้วยไม่ใส่เอนติบอดีต่อ METTL3 เพื่อเป็นตัวควบคุมเชิงลบ

การเก็บข้อมูลและการแปลผล

บันทึกข้อมูลเกี่ยวกับเพศ อายุ ตำแหน่ง ระยะ เวลาที่เป็นโรค ขนาดของรอยโรคซึ่งได้จากการวัดขนาด เส้นผ่าศูนย์กลางของรอยโรคจากภาพถ่ายรังสี อาการ เจ็บปวดและการบวมในทั้ง 2 กลุ่มตัวอย่าง และเก็บ ข้อมูลด้วยการถ่ายภาพจากสไลด์ของชิ้นเนื้อตัวอย่าง ด้วยกล้องจุลทรรศน์ชนิดใช้แสง (Motic, China) ที่ เลนส์กำลังขยายขนาด 400 เท่า นับจำนวนเซลล์จาก ภาพถ่ายอย่างน้อย 500 เซลล์จากการสุ่มคูณ 5 ตำแหน่ง

ของแต่ละชิ้นเนื้อ โดยเซลล์ที่ถือว่ามีการแสดงออกของ METTL3 คือ เซลล์ที่ติดสีน้ำตาลบริเวณนิวเคลียลของ เซลล์ในชิ้นเยื่อบุผิว (11) ทำการแปลผลโดยเปรียบเทียบ รูปแบบลักษณะการติดสีของชิ้นเนื้อทั้ง 2 กลุ่ม โดย บรรยายรูปแบบการติดสีของ METTL3 เปรียบเทียบ ร้อยละของเซลล์ที่ติดสี ความเข้มของการย้อมติดสี และ คะแนนอิมมูโนรีแอคทีฟ ซึ่งคำนวณได้จาก AxB โดย ค่า A คือคะแนนร้อยละการติดสี (คะแนน 0 = ไม่มี เซลล์ติดสี, คะแนน 1 = จำนวนเซลล์ติดสีน้อยกว่าร้อยละ 10, คะแนน 2 = จำนวนเซลล์ติดสีร้อยละ 10-50, คะแนน 3 = จำนวนเซลล์ติดสีมากกว่าร้อยละ 50-80, คะแนน 4 = จำนวนเซลล์ติดสีมากกว่าร้อยละ 80) คูณกับค่า B คือคะแนนความเข้มของการติดสี โดยประเมินจาก ความเข้มของเซลล์ส่วนใหญ่ (คะแนน 0 = ไม่มีการติดสี, คะแนน 1 = มีระดับการติดสีจาง, คะแนน 2 = มีระดับ การติดสีปานกลาง, คะแนน 3 = มีระดับการติดสีเข้ม) โดยแปลผลคะแนนอิมมูโนรีแอคทีฟ ได้ดังนี้ คะแนน 0-1 แปลผลเป็นลบ, คะแนน 2-3 แปลผลเป็นบวกน้อย, คะแนน 4-8 แปลผลเป็นบวกปานกลาง, คะแนน 9-12 แปลผลเป็นบวกมาก (15)

การเก็บข้อมูลและแปลผลทำโดยผู้ทำวิจัยที่ได้ รับการฝึกการอ่านผลทางจุลพยาธิจำนวน 1 คน ซึ่งผ่าน การทดสอบค่าความเชื่อมั่นระหว่างผู้วิจัยกับทันตแพทย์ เภพาทางด้านพยาธิวิทยาช่องปาก โดยมีค่าลัมประลิที ชี สหพันธ์ภายในชิ้น (Intra-class correlation: ICC) ระหว่างผู้ทำวิจัยและผู้เชี่ยวชาญเป็น 0.99 ซึ่งแปลได้ว่า ความน่าเชื่อถือของผู้ประเมินมีความสอดคล้องกันใน ระดับดีมาก

การวิเคราะห์ทางสถิติ

ใช้สถิติเชิงพรรณในการอธิบายรูปแบบการ ติดสีย้อมของ METTL3 ของชิ้นเนื้อทั้ง 2 กลุ่ม สำหรับ ร้อยละการย้อมติดสี และคะแนนอิมมูโนรีแอคทีฟ จะแสดงข้อมูลเป็นค่าเฉลี่ย และนำมารวิเคราะห์ความ แตกต่างของการแสดงออกของ METTL3 ระหว่าง กลุ่มตัวอย่าง โดยใช้สถิติ Mann Whitney U test สำหรับร้อยละค่าเฉลี่ยของเซลล์ที่ย้อมติดสีและค่าเฉลี่ย

คะแนนอิมมูโนรีแอคทีฟ สถิติ Yates's chi-squared สำหรับร้อยละของเซลล์ที่ย้อมติดสี คะแนนความเข้ม ของการย้อมติดสี และคะแนนอิมมูโนรีแอคทีฟ สถิติ ทั้งหมดคำนวณที่ระดับความเชื่อมั่น $p < 0.05$ โดยใช้ โปรแกรม GraphPad prism Version 10

ผลการทดลอง (Results)

ข้อมูลทั่วไปของประชากรที่ศึกษา

การศึกษาในครั้งนี้ประกอบด้วยชิ้นเนื้อทั้งหมด 26 ตัวอย่าง โดยแบ่งเป็นชิ้นเนื้ออะมีโลบลาสตومา ชนิดถุงน้ำเดียวจำนวน 11 ตัวอย่าง และอะมีโลบลาสตومา ชนิดหลายถุงน้ำจำนวน 15 ตัวอย่าง มีลักษณะทางเพศชายต่อเพศหญิงในกลุ่มชิ้นเนื้ออะมีโลบลาสตومา ชนิดถุงน้ำเดียวและอะมีโลบลาสตومาชนิดหลายถุงน้ำ คิดเป็น 1.2:1 และ 1.15:1 ตามลำดับ อายุเฉลี่ยของ ประชากรที่มีรอยโรคอะมีโลบลาสตومาชนิดถุงน้ำเดียว เท่ากับ 39.67 ± 18.9 ปี และอะมีโลบลาสตومาชนิด หลายถุงน้ำเท่ากับ 33 ± 14.01 ปี โดยเพศและอายุเฉลี่ย ของแต่ละกลุ่มตัวอย่างพบว่าไม่มีความแตกต่างกัน อย่างมีนัยสำคัญทางสถิติ ($p > 0.05$) สำหรับตำแหน่ง ของรอยโรคอะมีโลบลาสตومาทั้งสองชนิดมักพบ ที่ขากรรไกรล่าง โดยคิดเป็นร้อยละ 90.9 สำหรับ อะมีโลบลาสตومาชนิดถุงน้ำเดียว และอะมีโลบลาสตومา ชนิดถุงน้ำเดียวและอะมีโลบลาสตومาชนิดหลายถุงน้ำ ในการศึกษาครั้งนี้ส่วนมากมีขนาดมากกว่า 2 เซนติเมตร โดยคิดเป็นร้อยละ 63.64 และร้อยละ 66.67 ตามลำดับ โดยตำแหน่งและขนาดรอยโรคของทั้งสองกลุ่มตัวอย่าง พบว่าไม่มีความแตกต่างกันอย่างมีนัยสำคัญทางสถิติ ($p > 0.05$) สำหรับอาการและอาการแสดงที่พบผู้ป่วย อะมีโลบลาสตومาได้แก่อาการเจ็บปวดและการบวม พบว่าในกลุ่มรอยโรคอะมีโลบลาสตومาชนิดถุงน้ำเดียว และอะมีโลบลาสตومาชนิดหลายถุงน้ำผู้ป่วยมักไม่มี อาการเจ็บปวดแต่มีอาการบวม ซึ่งอาการเจ็บปวดและ อาการบวมของทั้งสองกลุ่มตัวอย่างพบว่าไม่มีความ แตกต่างกันอย่างมีนัยสำคัญทางสถิติ ($p > 0.05$) ตั้ง แสดงในตารางที่ 1

ลักษณะการแสดงออกของ METTL3

พบการแสดงออกของ METTL3 ในทุกตัวอย่างของชิ้นเนื้ออวัยวะมีโลบลาส์โตมาซันิดถุงน้ำเดียวและอะมีโลบลาส์โตมาซันิดหดถุงน้ำ สำหรับรูปแบบการแสดงออกของ METTL3 ในกลุ่มรอยโรคอะมีโลบลาส์โตมาซันิดถุงน้ำเดียวและอะมีโลบลาส์โตมาซันิดหดถุงน้ำมีความแตกต่างกัน โดยกลุ่มรอยโรคอะมีโลบลาส์โตมาซันิดถุงน้ำเดียวพบการติดสีส่วนใหญ่บริเวณนิวเคลียลของเซลล์ในชิ้นเนื้อปีටาโดยชิ้นเนื้อส่วนใหญ่มีการติดสีในระดับปานกลาง (รูปที่ 1A และ 1B) ในขณะที่กลุ่มรอยโรคอะมีโลบลาส์โตมาซันิดหดถุงน้ำพบว่าชิ้นเนื้อส่วนใหญ่มีการติดสีในระดับความเข้มรุนแรง และติดสีบริเวณนิวเคลียลเกือบทุกเซลล์ของเซลล์เยื่อบุผิว (รูปที่ 1C และ 1D)

ร้อยละการติดสี คะแนนร้อยละของการติดสี คะแนนความเข้มของการย้อมติดสี และคะแนนอิมมูโนเร็คทิฟของการแสดงออกของ METTL3

สำหรับร้อยละค่าเฉลี่ยของเซลล์ที่มีการติดสีในกลุ่มรอยโรคอะมีโลบลาส์โตมาซันิดถุงน้ำเดียวเท่ากับ 57.64 ± 23.42 คิดเป็นคะแนนร้อยละของเซลล์ที่ย้อมติดสีส่วนใหญ่เท่ากับสามคะแนน ในขณะที่อะมีโลบลาส์โตมาซันิดหดถุงน้ำมีร้อยละค่าเฉลี่ยของเซลล์ที่มีการติดสีเท่ากับ 89.07 ± 9.56 คิดเป็นคะแนนร้อยละของเซลล์ที่ย้อมติดสีเท่ากับสี่คะแนน ซึ่งพบว่าร้อยละค่าเฉลี่ยของเซลล์ที่มีการติดสี คะแนนร้อยละของเซลล์ที่ย้อมติดสีในกลุ่มรอยโรคอะมีโลบลาส์โตมาหั้งสองกลุ่มมีความแตกต่างกันอย่างมีนัยสำคัญทางสถิติ ($p < 0.01$)

สำหรับคะแนนความเข้มของการย้อมติดสีในอะมีโลบลาส์โตมาซันิดถุงน้ำเดียว ชิ้นเนื้อส่วนใหญ่จำนวน 8 ชิ้นเนื้อจาก 11 ชิ้นเนื้อ มีคะแนนความเข้มของการย้อมติดสีอยู่ที่สองคะแนน คิดเป็นร้อยละ 72.73 ในขณะที่อะมีโลบลาส์โตมาซันิดหดถุงน้ำมีชิ้นเนื้อจำนวน 9 ชิ้นเนื้อจาก 15 ชิ้นเนื้อ มีคะแนนความเข้มของการย้อมติดสีอยู่ที่สามคะแนน คิดเป็นร้อยละ 60 ซึ่งคะแนนความเข้มของการย้อมติดสีของหั้งสองกลุ่มความแตกต่างกันอย่างมีนัยสำคัญทางสถิติ ($p < 0.01$)

เมื่อนำคะแนนร้อยละของเซลล์ที่ย้อมติดสีคูณกับคะแนนความเข้มของการย้อมติดสีเพื่อให้ได้เป็นคะแนนอิมมูโนเร็คทิฟ พบร่วมคะแนนอิมมูโนเร็คทิฟของกลุ่มรอยโรคอะมีโลบลาส์โตมาซันิดถุงน้ำเดียว ส่วนใหญ่แปลผลได้เป็นบวกปานกลาง ในขณะที่อะมีโลบลาส์โตมาซันิดหดถุงน้ำแปลผลได้เป็นบวกมาก ซึ่งค่าเฉลี่ยคะแนนอิมมูโนเร็คทิฟของการแสดงออกของ METTL3 ในอะมีโลบลาส์โตมาซันิดหดถุงน้ำคิดเป็น 5.82 ± 2.75 และอะมีโลบลาส์โตมาซันิดหดถุงน้ำเดียวคิดเป็น 10.07 ± 2.22 ซึ่งค่าเฉลี่ยคะแนนอิมมูโนเร็คทิฟของการแสดงออกของ METTL3 ในอะมีโลบลาส์โตมาซันิดหดถุงน้ำสูงกว่าอะมีโลบลาส์โตมาซันิดถุงน้ำเดียวอย่างมีนัยสำคัญทางสถิติ ($p < 0.01$) ดังแสดงในตารางที่ 2

ตารางที่ 1 ข้อมูลทั่วไปของประชากรที่ศึกษา

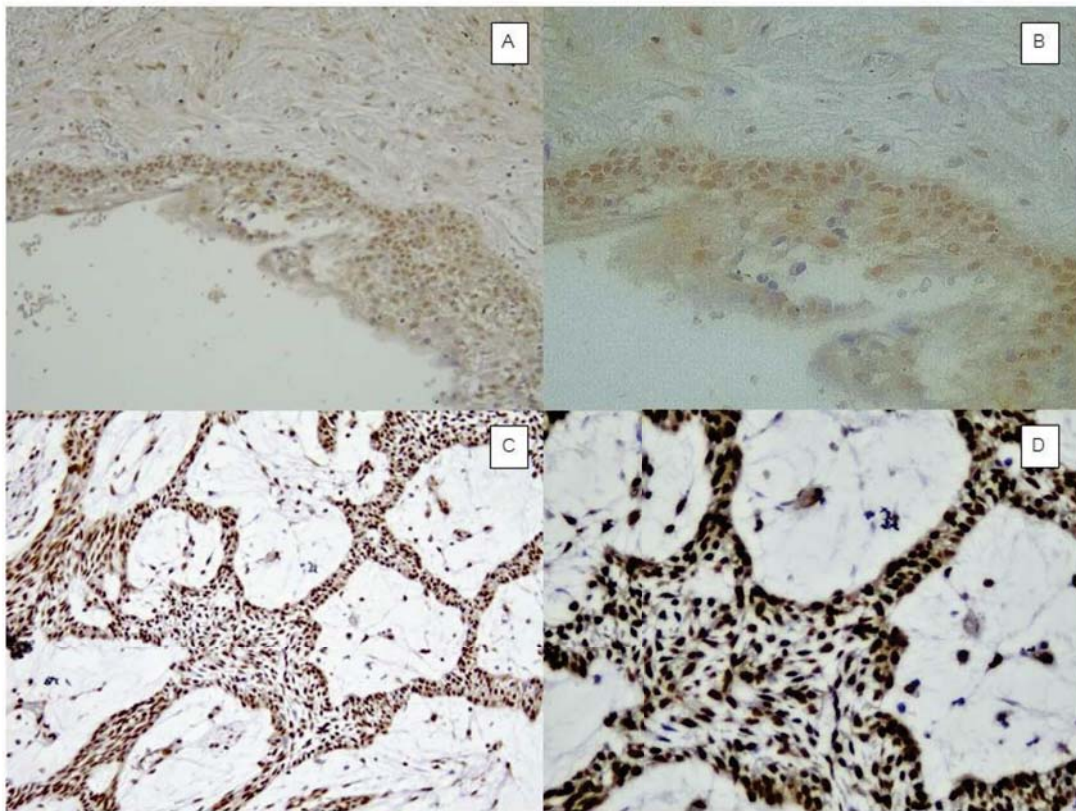
Table 1. Demographic data of the study population.

ข้อมูล	ชิ้นเนื้ออะมีโลบลัสโตรมา ชนิดถุงน้ำเดียว (n = 11)	ชิ้นเนื้ออะมีโลบลัสโตรมา ชนิดหลายถุงน้ำ (n = 15)	p-value
เพศ (คน, ร้อยละ)			
เพศชาย	6 (54.54)	9 (60)	p > 0.05
เพศหญิง	5 (45.46)	6 (40)	
อายุ			
ค่าเฉลี่ย ± ค่าเบี่ยงเบนมาตรฐาน (ปี)	39.67 ± 18.9	33 ± 14.01	p > 0.05
ค่าต่ำสุด - ค่าสูงสุด (ปี)	12 - 53	13 - 68	
ตำแหน่งของรอยโรค (คน, ร้อยละ)			
ขากรรไกรบน	1 (9.1)	0 (0)	p > 0.05
ขากรรไกรล่าง	10 (90.9)	15 (100)	
ขนาดรอยโรค (คน, ร้อยละ)			
น้อยกว่า หรือเท่ากับ 2 เซนติเมตร	4 (36.36)	5 (33.33)	p > 0.05
มากกว่า 2 เซนติเมตร	7 (63.64)	10 (66.67)	
ความเจ็บปวด (คน, ร้อยละ)			
ไม่มีอาการเจ็บปวด	9 (81.82)	13 (86.67)	p > 0.05
มีอาการเจ็บปวด	2 (18.18)	2 (13.33)	
อาการบวม (คน, ร้อยละ)			
ไม่มีอาการบวม	0 (0)	0 (0)	p > 0.05
มีอาการบวม	11 (100)	15 (100)	

ตารางที่ 2 การแสดงออกของ METTL3 ในรอยโรคเมโลบลาสตومา

Table 2. The expression of METTL3 in ameloblastoma.

	ชั้นเนื้ออะมีโลบลาสตومา ชนิดถุงน้ำเดียว (n = 11)	ชั้นเนื้ออะมีโลบลาสตومา ชนิดหลายถุงน้ำ (n = 15)	p-value
ค่าเฉลี่ยร้อยละของเซลล์ที่บ้มติดสี ± ค่าเบี่ยงเบนมาตรฐาน	57.64 ± 23.42	89.07 ± 9.56	p < 0.01
คะแนนร้อยละของเซลล์ที่บ้มติดสี (ค่า A) (คน, ร้อยละ)			
score = 1 (< 10)	0 (0)	0 (0)	p < 0.01
score = 2 (10 - 50)	3 (27.27)	0 (0)	
score = 3 (> 50 - 80)	6 (54.55)	2 (13.33)	
score = 4 (> 80)	2 (18.18)	13 (86.67)	
คะแนนความเข้มของการบ้มติดสี (ค่า B) (คน, ร้อยละ)			
score = 0	0 (0)	0 (0)	p < 0.01
score = 1	2 (18.18)	0 (0)	
score = 2	8 (72.73)	6 (40)	
score = 3	1 (9.09)	9 (60)	
ค่าเฉลี่ยคะแนนอัมมูโนรีแอคทีฟ ± ค่าเบี่ยงเบนมาตรฐาน	5.82 ± 2.75	10.07 ± 2.22	p < 0.01
ค่ามัธยฐาน [ค่าพิสัยควร์ໄทล์] ค่าต่ำสุด - ค่าสูงสุด	6	12	
คะแนนอัมมูโนรีแอคทีฟ (ค่า Ax B) (คน, ร้อยละ)			
0 - 1 (แปลผลเป็นลบ)	0 (0)	0 (0)	p < 0.01
2 - 3 (แปลผลเป็นมากน้อย)	2 (18.18)	0 (0)	
4 - 8 (แปลผลเป็นมากปานกลาง)	8 (72.73)	6 (40)	
9 - 12 (แปลผลเป็นมากมาก)	1 (9.09)	9 (60)	



รูปที่ 1 การแสดงออกของ METTL3 ในขั้นเนื้ออะมีโลบลาสโตมาชนิດถุงน้ำเดียวที่มีคะแนนร้อยละของเซลล์ที่ติดสี (ค่า A) เท่ากับ 3 ติดสีความเข้มระดับปานกลางคิดเป็นคะแนนความเข้ม (ค่า B) เท่ากับ 2 และมีคะแนนอิมมูโนเร็อกทิฟ (ค่า AxB) เท่ากับ 6 (รูป 1A, 1B) และการแสดงออกของ METTL3 ในขั้นเนื้ออะมีโลบลาสโตมาชนิດหลายถุงน้ำที่มีคะแนนร้อยละของเซลล์ที่ติดสี (ค่า A) เท่ากับ 4 ติดสีความเข้มระดับรุนแรงคิดเป็นคะแนนความเข้ม (ค่า B) เท่ากับ 3 และมีคะแนนอิมมูโนเร็อกทิฟ (ค่า AxB) เท่ากับ 12 (รูป 1C, 1D) (รูป 1A, 1C กำลังขยาย 200 เท่า และรูป 1B, 1D กำลังขยาย 400 เท่า)

Fig 1. METTL3 expression in unicystic ameloblastoma with a score of percentage of positive cells (score A) of 3, moderate staining intensity with an intensity score (score B) of 2, and an immunoreactivity score (score AxB) of 6 (Fig 1A, 1B). METTL3 expression in conventional ameloblastoma with a score of percentage of positive cells (score A) of 4, intense staining intensity with an intensity score (score B) of 3, and an immunoreactive score (score AxB) of 12 (Fig 1C, 1D). (Fig 1A, 1C, 200x magnification and Fig 1B, 1D, 400x magnification).

บทวิจารณ์ (Discussion)

การศึกษานี้เป็นการศึกษาแรกที่ศึกษาการแสดงออกของ METTL3 ในรอยโรคอะมีโลบลาสโนมา ซึ่ง METTL3 เป็นหนึ่งในเอนไซม์ควบคุมหลักในกระบวนการการดัดแปลง m6A โดยการศึกษานี้ได้ทำการศึกษาเปรียบเทียบการแสดงออกของ METTL3 ในรอยโรคอะมีโลบลาสโนมาชนิดหดหายถุงน้ำและอะมีโลบลาสโนมาชนิดถุงน้ำเดียว ซึ่งอะมีโลบลาสโนมาสองชนิดนี้เป็นชนิดที่พบได้มากที่สุดเป็นอันดับหนึ่งและอันดับสองตามลำดับ อะมีโลบลาสโนมาทั้งสองชนิดนี้มีพฤติกรรมการดำเนินโรค ความรุนแรง รวมถึงการพยากรณ์ของโรคที่แตกต่างกัน โดยอะมีโลบลาสโนมาชนิดหดหายถุงน้ำ มีการรุกรานเฉพาะที่ถุงน้ำ และมีความสามารถในการทำลายกระดูกทึบ และมีอัตราการกลับเป็นช้าหลังการรักษาสูง ในขณะที่อะมีโลบลาสโนมาชนิดถุงน้ำเดียวมีพฤติกรรมการดำเนินโรคคล้ายโรคของถุงน้ำ อัตราการกลับเป็นช้าหลังการรักษาค่อนข้างต่ำ ดังนั้นรอยโรคอะมีโลบลาสโนมาชนิดหดหายถุงน้ำจึงมีการพยากรณ์โรคที่แย่กว่า อะมีโลบลาสโนมาชนิดถุงน้ำเดียวล้วงผลต่อแผนการรักษาของรอยโรคสองชนิดนี้ที่มีความแตกต่างกัน ซึ่งผลจากการศึกษาพบว่ารอยโรคอะมีโลบลาสโนมาชนิดหดหายถุงน้ำ ซึ่งเป็นรอยโรคที่มีความรุนแรงมากกว่าพบการแสดงออกของ METTL3 มากกว่ารอยโรคอะมีโลบลาสโนมาชนิดถุงน้ำเดียว ทั้งร้อยละของเซลล์ที่มีการติดลี ความเข้มของเซลล์ที่ติดลี รวมถึงคะแนนอิมมูโนเรแอคทีฟอย่างมีนัยสำคัญทางสถิติ ซึ่งแสดงให้เห็นว่า METTL3 อาจมีบทบาทต่อพฤติกรรมและความรุนแรงของรอยโรคอะมีโลบลาสโนมา

ในด้านข้อมูลทั่วไปของประชากรที่ศึกษานี้การศึกษานี้ใช้ชั้นเนื้ออะมีโลบลาสโนมาทั้งหมด 26 ตัวอย่าง โดยแบ่งเป็นอะมีโลบลาสโนมาชนิดถุงน้ำเดียว 11 ตัวอย่าง และอะมีโลบลาสโนมาชนิดหดหายถุงน้ำ 15 ตัวอย่าง ผลการศึกษาพบว่ารอยโรคอะมีโลบลาสโนมาชนิดถุงน้ำเดียวและอะมีโลบลาสโนมาชนิดหดหายถุงน้ำพบในเพศชายมากกว่าเพศหญิง อายุเฉลี่ยที่พบอยู่ในช่วง 30 ปี และรอยโรคมักพบในบริเวณขากรรไกรล่าง มีเพียงตัวอย่างเดียวของอะมีโลบลาสโนมาชนิดถุงน้ำเดียวที่พบบริเวณขากรรไกรบน ซึ่งสอดคล้องกับการศึกษาของ

บุ และคณะ ที่พบอะมีโลบลาสโนมาส่วนใหญ่ในผู้ป่วยอายุเฉลี่ย 31 ปี รอยโรคร้อยละ 91 พบที่ขากรรไกรล่าง และพบรอยโรคอะมีโลบลาสโนมาในเพศชายต่อเพศหญิงในสัดส่วนเท่ากัน 1.5:1 (16) และการศึกษาของ Hatada และคณะพบรอยโรคอะมีโลบลาสโนมาในผู้ป่วยอายุเฉลี่ย 35 ปี อัตราส่วนเพศชายต่อเพศหญิงเท่ากัน 1.6:1 และรอยโรคร้อยละ 93 พบบริเวณขากรรไกรล่าง (17) อย่างไรก็ตามจากฐานข้อมูลของ WHO ฉบับที่ 5 พบว่าอะมีโลบลาสโนมาชนิดถุงน้ำเดียวส่วนใหญ่พบในผู้ป่วยอายุเฉลี่ย 20 ปี และมักพบรอยโรคในเพศชายส่วนในอะมีโลบลาสโนมาชนิดหดหายถุงน้ำมักพบในช่วงอายุ 40 – 50 ปี และไม่พบความแตกต่างระหว่างเพศชายและเพศหญิง โดยรายงานของ WHO นั้นพบว่ารอยโรคทั้งสองชนิดมักพบที่ตำแหน่งขากรรไกรล่าง (3) ซึ่งสอดคล้องกับข้อมูลจากการศึกษาในครั้งนี้ ในส่วนของการแสดงของรอยโรคในการศึกษานี้พบว่าผู้ป่วยที่มีรอยโรคอะมีโลบลาสโนมาทุกรายมีอาการบวมแต่ส่วนใหญ่ไม่มีอาการเจ็บปวด ซึ่งสอดคล้องกับรายงานจากการศึกษาที่ผ่านมาและรายงานของ WHO ที่พบว่ารอยโรคอะมีโลบลาสโนมาทำให้เกิดอาการบวมของใบหน้าล่วงผลให้ใบหน้าไม่สมมาตร ส่วนอาการเจ็บปวดนั้นไม่ค่อยพบในรอยโรคชนิดนี้ (3, 17, 18)

มีการศึกษาพบว่าระดับ METTL3 ในมะเร็งช่องปากชนิดสความสัมเชลล์คาซิโนนาสูงกว่าเนื้อเยื่อปกติที่อยู่ข้างเคียงและระดับการแสดงออกของ METTL3 ที่สูงขึ้น มีความล้มเหลวนี้เชิงบวกอย่างมีนัยสำคัญกับระยะของมะเร็งที่สูงขึ้น การแสดงออกของ METTL3 ที่สูงนี้บ่งชี้ถึงการพยากรณ์โรคมะเร็งช่องปากชนิดสความสัมเชลล์คาซิโนมากที่แย่ลง (11) อีกทั้งยังพบว่าการแสดงออกของ METTL3 ในรอยโรคมะเร็งช่องปากชนิดสความสัมเชลล์คาซิโนมากกว่ารอยโรคก่อนเป็นมะเร็ง (oral epithelial dysplasia) และเนื้อเยื่อปกติตามลำดับ (12) ซึ่งผลในการศึกษานี้พบว่าร้อยละของเซลล์ที่ย้อมติดลีและความเข้มของการติดลีในอะมีโลบลาสโนมาชนิดหดหายถุงน้ำมีความเข้มมากกว่าอะมีโลบลาสโนมาชนิดถุงน้ำเดียวอย่างมีนัยสำคัญทางสถิติ อีกทั้งยังพบค่าเฉลี่ยอิมมูโนเรแอคทีฟของอะมีโลบลาสโนมาชนิดหดหายถุงน้ำมากกว่าอะมีโลบลาสโนมาชนิดถุงน้ำเดียวอีกด้วย

ซึ่งบ่งบอกว่าอะมีโลบลาสโตรมาชนิดหลายถุงน้ำมีการแสดงออกของ METTL3 ที่สูงกว่า จึงอาจเป็นไปได้ว่า METTL3 มีบทบาทต่อพฤติกรรมและความรุนแรงในการเกิดโรคอะมีโลบลาสโตรมา รวมถึงการพยากรณ์โรคที่เปลี่ยนอีกด้วย

จากการศึกษาที่ผ่านมาพบว่าการเกิดรอยโรคอะมีโลบลาสโตรมาอาจมีความสัมพันธ์กับกระบวนการเหนือพันธุกรรมในระดับอาร์เอ็นเอ ได้แก่ กระบวนการดัดแปลง m6A ซึ่งการศึกษาของ Niu และคณะ ได้ศึกษาความสัมพันธ์ของ m6A กับรอยโรคอะมีโลบลาสโตรมา พบว่ามี 3,673 ตำแหน่งที่พบการเมทิลเลขของตำแหน่ง m6A ภายในรหัสพันธุกรรม (coding genes) ของรอยโรคนี้ ซึ่งในจำนวนนี้ 704 ตำแหน่ง (16.2%) พบมีการเมทิลเลขเพิ่มขึ้น (upmethylated sites) อย่างมีนัยสำคัญเมื่อเปรียบเทียบกับเนื้อเยื่อในช่องปากปกติ แสดงให้เห็นว่า m6A นำจมูกบทบาทในรอยโรคอะมีโลบลาสโตรมา นอกจากนี้ ในการศึกษานี้ยังพบว่ามีความแตกต่างของตำแหน่งที่มีการเพิ่มขึ้นของการเดินหมู่เมทิลในยีน HOXC13 และ HOXC13-AS ในเนื้อเยื่ออะมีโลบลาสโตรมากับเนื้อเยื่อปกติที่อยู่ข้างเคียงอีกด้วย (8) ซึ่งการศึกษาที่มีมาก่อนหน้านี้ พบว่ามีความสัมพันธ์ระหว่างยีน HOXC13 และ HOXC13-AS กับรอยโรคอะมีโลบลาสโตรมาอย่างมาก โดย Li และคณะ ได้ทำการศึกษาความสัมพันธ์ระหว่างยีน HOXC13 กับรอยโรคอะมีโลบลาสโตรมา ซึ่งโปรตีน HOXC13 ทำหน้าที่กระตุ้นการเกิดกระบวนการลดตรัสรักและควบคุมการแสดงออกของยีนที่ส่งผลต่อการเกิดและการพัฒนาของมะเร็ง ผลการศึกษาพบว่าเมื่อระดับการแสดงออกของยีน HOXC13 ลดลง ส่งผลให้การเพิ่มจำนวนของเซลล์อะมีโลบลาสโตรมาและความสามารถในการบุกรุกของเซลล์ลดลง (19) ซึ่งสอดคล้องกับการศึกษาของ Sun และคณะ ที่พบว่าความสามารถในการเพิ่มจำนวนเซลล์อะมีโลบลาสโตรมาลดลงหลังจากยังการแสดงออกของยีน HOXC13 และผลการศึกษายังพบว่า yin HOXC13 และ HOXC13-AS มีการแสดงออกที่สูงในเนื้อเยื่ออะมีโลบลาสโตรมาอีกด้วย (20) อย่างไรก็ตาม

ในปัจจุบันยังไม่พบมีการศึกษาความสัมพันธ์ระหว่าง METTL3 กับยีน HOXC13 และ HOXC13-AS แต่มีรายงานการศึกษาความสัมพันธ์ระหว่าง FTO ซึ่งเป็นเอนไซม์ในกลุ่มดีเมทิลเลสของกระบวนการดัดแปลง m6A ที่มีหน้าที่นำหมู่เมทิลออกจาก m6A กับ lncRNA HOXC13-AS ในรอยโรคมะเร็งปอดด้วย ซึ่งผลการศึกษาพบว่าการดัดแปลง m6A มีบทบาทในการควบคุมการแสดงออกของ HOXC13-AS โดยการลดลงของ FTO ทำให้ m6A ลดลง ล่งผลให้ HOXC13-AS มีความเสถียร (21, 22) จากผลการศึกษาที่กล่าวมาจึงเป็นที่น่าสนใจว่า METTL3 จะมีบทบาทต่อการทำงานของยีน HOXC13 และ HOXC13-AS ในรอยโรคอะมีโลบลาสโตรมาได้เช่นกัน อย่างไรก็ตาม ยังต้องมีการศึกษาเพิ่มเติมในประเด็นนี้ต่อไปในอนาคต

การศึกษานี้ เป็นการศึกษาจากข้อมูลย้อนหลัง (retrospective study) จึงมีข้อจำกัดในเรื่องข้อมูลของชั้นเนื้อและประวัติที่เกี่ยวข้องทางคลินิกของผู้ป่วยบางอย่างที่ไม่สามารถบันคับได้ครบถ้วน เช่น ระยะเวลาในการเป็นโรคก่อนมาพบทันแพทย์ เป็นต้น ทำให้ไม่สามารถนำข้อมูลทางคลินิกดังกล่าวมาศึกษาความสัมพันธ์กับการแสดงออกของ METTL3 รวมถึง การศึกษานี้เป็นเพียงการศึกษาสำหรับ จำนวนของชั้นเนื้อที่นำมาศึกษาจึงมีจำนวนไม่มาก ดังนั้นในการศึกษาครั้งต่อไปควรมีการเพิ่มจำนวนตัวอย่างชั้นเนื้อที่ใช้ในการศึกษา ซึ่งอาจช่วยลดความคลาดเคลื่อนของผลการศึกษาที่ได้ และทำให้ผลการศึกษามีความน่าเชื่อถือมากขึ้น รวมถึงควรมีการศึกษาการแสดงออกของ METTL3 ในกลุ่มรอยโรคอื่นๆ ที่มีสาเหตุจากเนื้อเยื่อร่างกาย เช่น ถุงน้ำเดนติเจอรัสและถุงน้ำแคลซิไฟอิงโอดอนโตเจนิก เพื่อทำความเข้าใจเกี่ยวกับบทบาทของ METTL3 ในรอยโรคกลุ่มนี้ อย่างไรก็ตามการศึกษานี้เป็นการศึกษาแรกที่ศึกษาการแสดงออกของ METTL3 ในรอยโรคอะมีโลบลาสโตรมา ซึ่งข้อมูลที่ได้อาจมีประโยชน์ในการเป็นข้อมูลเบื้องต้นที่แสดงให้เห็นถึงบทบาทของ METTL3 ที่อาจมีความเกี่ยวข้องต่อการเกิดโรคและพฤติกรรมของรอยโรคอะมีโลบลาสโตรมาได้

บทสรุป (Conclusion)

การศึกษานี้พบการแสดงออกของ METTL3 ในรอยโรคอะมีโลบลาสโนมาทั้งสองชนิด โดยพบว่าการแสดงออกของ METTL3 ในอะมีโลบลาสโนมาชนิดถุงน้ำเดียว หลายถุงน้ำสูงกว่าอะมีโลบลาสโนมาชนิดถุงน้ำเดียวซึ่งอาจแสดงให้เห็นว่า METTL3 อาจเป็นตัวบ่งชี้ทางชีวภาพต่อพฤติกรรมและความรุนแรงในการเกิดโรคอะมีโลบลาสโนมาได้ อย่างไรก็ตามจำเป็นต้องมีการศึกษาเพิ่มเติม เพื่อให้ทราบบทบาทที่แท้จริงของ METTL3 ในรอยโรคชนิดนี้

กิตติกรรมประภาก (Acknowledgement)

งานวิจัยนี้ได้รับทุนอุดหนุนจากเงินรายได้คณบดีคณะแพทยศาสตร์ มหาวิทยาลัยคริสตินทรีโรต์ คณบดีวิจัยขอขอบคุณอุตสาหะ บุญทรง เจ้าหน้าที่ประจำห้องปฏิบัติการห้องแล็บที่ช่วยเหลือในการทำวิจัยครั้งนี้

เอกสารอ้างอิง (References)

1. Ghai S. Ameloblastoma: An updated narrative review of an enigmatic tumor. *Cureus*. 2022;14(8):e27734. doi: 10.7759/cureus.27734.
2. Siar CH, Ng KH. Epithelial-to-mesenchymal transition in ameloblastoma: Focus on morphologically evident mesenchymal phenotypic transition. *Pathology*. 2019;51(5):494-501.
3. WHO Classification of Tumours Editorial Board. Head and neck tumours. Lyon (France): International Agency for Research on Cancer; 2022.
4. Masthan KM, Anitha N, Krupaa J, Manikkam S. Ameloblastoma. *J Pharm Bioallied Sci*. 2015;7(Suppl 1):S167-70.
5. Sham E, Leong J, Maher R, Schenborg M, Leung M, Mansour AK. Mandibular ameloblastoma: Clinical experience and literature review. *ANZ J Surg*. 2009;79(10):739-44.
6. Hendra FN, Natsir Kalla DS, Van Cann EM, de Vet HCW, Helder MN, Forouzanfar T. Radical vs conservative treatment of intraosseous ameloblastoma: Systematic review and meta-analysis. *Oral Dis*. 2019;25(7):1683-96.
7. Toprani SM. DNA damage and repair scenario in ameloblastoma. *Oral Oncol*. 2020;108:104804. doi: 10.1016/j.oraloncology.2020.104804.
8. Niu X, Xu J, Liu J, Chen L, Qiao X, Zhong M. Landscape of n(6)-methyladenosine modification patterns in human ameloblastoma. *Front Oncol*. 2020;10:556497.
9. Santos ES, Rodrigues-Fernandes CI, Cabral JC, Fonseca FP, Leme AF. Epigenetic alterations in ameloblastomas: A literature review. *J Clin Exp Dent*. 2021;13(3):e295-e302. doi: 10.4317/jced.56191.
10. Zeng C, Huang W, Li Y, Weng H. Roles of mettl3 in cancer: Mechanisms and therapeutic targeting. *J Hematol Oncol*. 2020;13(1):117. doi: 10.1186/s13045-020-00951-w.
11. Liu L, Wu Y, Li Q, Liang J, He Q, Zhao L, et al. Mettl3 promotes tumorigenesis and metastasis through bmi1 m(6)a methylation in oral squamous cell carcinoma. *Mol Ther*. 2020;28(10):2177-90.
12. Udompatanakorn C, Taebunpakul P. The expression of methyltransferase-like 3 in oral precancerous lesions and oral squamous cell carcinoma. *Eur J Dent*. 2023;17(2):349-56.
13. Liu J, Eckert MA, Harada BT, Liu SM, Lu Z, Yu K, et al. M(6)a mrna methylation regulates akt activity to promote the proliferation and tumorigenicity of endometrial cancer. *Nat Cell Biol*. 2018;20(9):1074-83.

14. Zhou H, Yin K, Zhang Y, Tian J, Wang S. The RNA m6A writer METTL14 in cancers: Roles, structures, and applications. *Biochim Biophys Acta Rev Cancer.* 2021;1876(2):188609. doi: 10.1016/j.bbcan.2021.188609.
15. Fedchenko N, Reifenrath J. Different approaches for interpretation and reporting of immunohistochemistry analysis results in the bone tissue – a review. *Diagn Pathol.* 2014;9:221. doi: 10.1186/s13000-014-0221-9.
16. Lu Y, Xuan M, Takata T, Wang C, He Z, Zhou Z, et al. Odontogenic tumors. A demographic study of 759 cases in a chinese population. *Oral Surg Oral Med Oral Pathol Oral Radiol Endod.* 1998;86(6):707-14.
17. Hatada K, Noma H, Katakura A, Yama M, Takano M, Ide Y, et al. Clinicostatistical study of ameloblastoma treatment. *Bull Tokyo Dent Coll.* 2001;42(2):87-95.
18. Wright JM, Soluk Tekkesin M. Odontogenic tumors: Where are we in 2017? *J Istanbul Univ Fac Dent.* 2017;51(3 Suppl 1):S10-30.
19. Li J, Zhang B, Wang B, Zhang X. Lncrna hoxc-as5 affects the proliferation, invasion and cell cycle of ameloblastoma cells by acting on the target gene hoxc13. *Cell Mol Biol (Noisy-le-grand).* 2022;68(5):124-34.
20. Sun Y, Niu X, Wang G, Qiao X, Chen L, Zhong M. A novel lncrna enst00000512916 facilitates cell proliferation, migration and cell cycle progression in ameloblastoma. *Onco Targets Ther.* 2020;13:1519-1531. doi: 10.2147/OTT.S236158.
21. Wang T, Li W, Ye B, Zhang S, Lei X, Zhang D. Fto-stabilized lncrna hoxc13-as epigenetically upregulated fzd6 and activated wnt/β-catenin signaling to drive cervical cancer proliferation, invasion, and emt. *J buon.* 2021;26(4):1279-91.
22. Sun T, Wu R, Ming L. The role of m6A RNA methylation in cancer. *Biomed Pharmacother.* 2019;112:108613. doi: 10.1016/j.biopha.2019.108613.

ຕິດຕ່ອນທຄວາມ :

ຮ.ສ.ດ.ຣ.ທພງ.ກັກຮາຍ ແຕ່ປະບຸກຸລ
ກາຄວິຫາມຄ້າລີຍຄາສຕ່ຽແລະເວັບຄາສຕ່ຽໜ່ອງປາກ
ຄະນະທັນຕະພັບທະນາຄາສຕ່ຽ ມາຫາວິທາລີຍຄົງຄົນທຣວິໂວຣ
ເລຂທີ 114 ສຸຂູມວິທ 23 ແຂວງຄລອງເຕຍເໜືອ
ເຂດວັດນາ ກຽງເທັນທານນະຄອນ 10110
ໂທຮັກພ໌ : 02 649 5000 ຕ່ອ 15063
ອື່ນເມັລ໌ : pathraya@g.swu.ac.th

Corresponding author:

Assoc.Prof.Dr. Patraya Taebunpakul
Department of Oral Surgery and Oral Medicine,
Faculty of Dentistry, Srinakharinwirot University,
114 Sukhumvit 23 road, Bangkok 10110,
Thailand.
Tel: (662) 649 5000 Ext.15063
E-mail: pathraya@g.swu.ac.th